DOI: 10.19812/j.cnki.jfsq11-5956/ts.20241028008

## 高效液相色谱法测定蛋白粉中异麦芽酮糖含量

刘春丽\*,杨静,胡杰,卢迪勋,陈汉峰,黎俊威 [捷通(广州)检测技术服务有限公司,广州 510730]

摘 要: 目的 建立高效液相色谱法(high performance liquid chromatography, HPLC)测定蛋白粉中异麦芽酮糖含量。方法 样品经 50%乙腈超声萃取,离心后取上清液,经 0.45  $\mu$ m 微孔滤膜过滤后用亲水作用色谱 (hydrophilic interaction liquid chromatography column, HILIC)分离,高效液相色谱仪-示差检测器分析。选用色谱柱 Waters XBridge HILIC (4.6 mm×250 mm, 5  $\mu$ m),流动相: 乙腈:水=85:15 (V:V);检测器温度为 40 °C;流速为 1.0 mL/min;进样体积为 5  $\mu$ L;柱温为 40 °C;运行时间为 10 min。结果 异麦芽酮糖在 1.96~9.80 mg/mL 范围内线性关系良好,相关系数( $r^2$ )为 0.9999,回收率均大于 90% (n=9),相对标准偏差为 0.65%。本方法检出限为 0.01 g/100 g,定量限为 0.04 g/100 g。结论 本方法前处理方法简单,检测灵敏度高,稳定性好,适用于蛋白粉样品中异麦芽酮糖含量的检测。样品使用 50%乙腈水溶解样品能较好地除去部分杂质,同时采用Xbridge HILIC 柱,有较好的极性保留,检测时间短,分离效果好,可以避免其他糖成分带来的干扰。

关键词: 高效液相色谱法; 异麦芽酮糖; 蛋白粉; 亲水作用色谱

# Determination of isomaltulose content in protein powder by high performance liquid chromatography

LIU Chun-Li\*, YANG Jing, HU Jie, LU Di-Xun, CHEN Han-Feng, LI Jun-Wei

[Access (Guangzhou) Testing Technology Service Co., Ltd., Guangzhou 510730, China]

ABSTRACT: Objective To establish a method for the determination of isomaltulose content in protein powder by high performance liquid chromatography (HPLC). Methods The sample was extracted by 50% acetonitrile ultrasonic extraction, centrifuged, and the supernatant was taken. It was filtered through a 0.45 μm microporous membrane and separated by hydrophilic interaction liquid chromatography column (HILIC). The sample was analyzed by high-performance liquid chromatography differential detector. Select the Waters XBridge HILIC chromatographic column (4.6 mm×250 mm, 5 μm), mobile phase: Acetonitrile:water=85:15 (*V:V*); the detector temperature was 40 °C; the flow rate was 1.0 mL/min; the injection volume was 5 μL; the column temperature was 40 °C; the running time was 10 minutes. Results The linear relationship of isomaltulose was good within the range of 1.96–9.80 mg/mL, with a correlation coefficient of 0.9999 and recovery rates greater than 90% (*n*=9). The relative standard deviation value was 0.65%. The limit of detection of this method was 0.01 g/100 g, and the limit of quantification was 0.04 g/100 g. Conclusion This method has a simple pre-processing method, high detection sensitivity, and good stability, and is suitable for detecting the content of isomaltulose in protein powder samples. Dissolving the sample in 50% acetonitrile water can effectively remove some impurities, while using an Xbridge

<sup>\*</sup>通信作者: 刘春丽, 硕士, 中级工程师, 主要研究方向为食品和保健食品质量管理。E-mail: 1040760028@qq.com

<sup>\*</sup>Corresponding author: LIU Chun-Li, Master, Intermediate Engineer, Access (Guangzhou) Testing Technology Service Co., Ltd., No.4, Shiying Road, Huangpu District, Guangzhou 510730, China. E-mail: 1040760028@qq.com

HILIC column has good polarity retention, short detection time, good separation effect, and can avoid interference from other sugar components.

**KEY WORDS:** high performance liquid chromatography; isomaltulose; protein powder; hydrophilic interaction liquid chromatography column

## 0 引 言

异麦芽酮糖(isomaltulose/palatinose, C<sub>12</sub>H<sub>22</sub>O<sub>11</sub>·H<sub>2</sub>O) 又名帕拉金糖, 在蜂蜜和甘蔗中天然存在, 它是蔗糖异构 酶将蔗糖的 α-1,2 糖苷键转变为 α-1,6 糖苷键的一种还原性 二糖。异麦芽酮糖与蔗糖和海藻酮糖互为同分异构体。异 麦芽酮糖的甜味与蔗糖相似,口感好,且具有低热量、低 黏度、无吸湿性、耐酸水解等优异特性[1-6]。近年来, 随着 人们生活水平的提高和线上工作生活方式的普遍, 由于日 常饮食摄入较多糖类引起的肥胖、糖尿病、高血脂等日益 成为了威胁人类健康的问题, 消费者对蔗糖替代品的需求 日益增加,能替代蔗糖的功能性甜味剂现在广泛受到关 注。最新的研究表明, 异麦芽酮糖是一种具有与蔗糖类似 的感官品质, 可以在小肠完全水解吸收, 但是其水解速度 只有蔗糖 20%~25%的功能性甜味剂, 所以异麦芽酮糖的 这些特性刚好可以符合糖尿病和肥胖人士使用。此外异麦 芽酮糖作为食品添加剂的安全性已被接受:美国食品药品 监督管理局(Food and Drug Administration, FDA)将其认证 为公认安全(generally recognized as safe, GRAS)级食品添 加剂, 中国标准 GB 2760《食品安全国家标准 食品添加剂 使用标准》也认为异麦芽酮糖可以按需添加。异麦芽酮糖 不仅口感好、安全性高,而且具有低热量、保护胰岛的特 性,可作为食品添加剂广泛应用于食品行业[7-12]。

目前针对异麦芽酮糖的研究,更多的是对其构效关系以及食用是否安全性等方面做了大量的研究<sup>[13-18]</sup>,然而国内对异麦芽酮糖的测定方法报道较少。异麦芽酮糖的检测容易受到其他糖和糖醇的干扰<sup>[19-24]</sup>,而亲水作用色谱柱(hydrophilic interaction liquid chromatography column, HILIC)是互补于反相色谱(reversed phase, RP)的色谱技术,它可以提高极性非常大的物质的保留,同时还可为极性物质和可离子化物质的混合物提供正交于 RP 的分离模式。因此本研究采用 HILIC 进行分离<sup>[25-30]</sup>,并使用高效液相色谱法 (high performance liquid chromatography, HPLC)-示差检测器(refractive index detector, RID)对蛋白粉中异麦芽酮糖进行测定,以期为蛋白粉中异麦芽酮糖的检测提供参考。

## 1 材料与方法

## 1.1 材料与试剂

市售的含有异麦芽酮糖的蛋白粉样品 A, 市售的不含

有异麦芽酮糖的蛋白粉样品 B。

乙腈(色谱纯,德国默克公司); 异麦芽酮糖标准品(纯度 94.6%,美国药典公司); 水为符合 GB/T 6682《分析实验室用水规格和试验方法》规定的一级水。

## 1.2 仪器与设备

Waters Arc Premier 高效液相色谱仪(配示差检测器)、Carbohydrate (4.6 mm×250 mm, 5 μm)、XBridge HILIC (4.6 mm×250 mm, 5 μm)(美国沃特世公司); XPE205 分析天平(感量 0.1 mg, 瑞士梅特勒-托利多国际股份有限公司); S180H 超声波振荡器(德国艾尔玛公司); Promax 振荡器(德国海道尔夫公司); 3K15 离心机(美国西格玛公司); Zorbax NH<sub>2</sub> (4.6 mm×250 mm, 5 μm)(美国安捷伦公司)。

## 1.3 实验方法

## 1.3.1 样品前处理

准确称取样品 1.0 g 至 50 mL 离心管; 加入 25 mL 50%乙腈水溶液, 放入超声波振荡器中超声提取 10 min, 再以 3000 r/min 的速度离心 3 min, 最后用 0.45 μm 微孔滤膜过滤至样品瓶, 供高效液相色谱仪测定。

## 1.3.2 溶液配制

## (1)标准溶液配制

异麦芽酮糖标准储备溶液: 称取约 250 mg(精确至 0.1 mg) 异麦芽酮糖标准品,用流动相溶解并定容至 25 mL。

异麦芽酮糖标准品工作溶液: 分别准确移取 1、2、3、4、5 mL 标准储备溶液至 5 mL 容量瓶, 用流动相定容并混合均匀。

## (2)流动相配制

流动相配制:量取850 mL 乙腈加入150 mL 水混合均匀。

(3)溶液配制

50%乙腈水溶液: 乙腈和水按体积比 1:1 混合。

## 1.3.3 色谱条件

色谱柱: XBridge HILIC (4.6 mm×250 mm, 5  $\mu$ m); 流 动相: 乙腈/水=85/15 (V:V); 检测器温度: 40 °C; 流速: 1.0 mL/min; 进样体积: 5  $\mu$ L; 柱温: 40 °C; 运行时间: 10 min。

#### 1.4 数据处理

本研究检测数据的定性定量分析和目标物质色谱图 在沃特世 Empower 3 中完成,而所有测定结果均为原始结果。数据分析利用 Microsoft Excel 365 进行,包括了数据的录入、整理、统计学分析和可视化图形的绘制。

## 2 结果与分析

## 2.1 色谱柱选择

配制一个标准品溶液和样品溶液,分成 3 份,分别采用 Carbohydrate (4.6 mm×250 mm, 5  $\mu$ m)、Zorbax NH<sub>2</sub> (4.6 mm×250 mm 5  $\mu$ m)和 Xbridge HILIC (4.6 mm×250 mm, 5  $\mu$ m) 3 种色谱柱进行上机分析,比较不同色谱柱检测的标准品和样品色谱图。

采用 Carbohydrate 的色谱柱对标准品和样品 A 进行分析的色谱图如图 1、2 所示。由图 1 可知,标准品溶液的色谱峰出现拖尾现象,由图 2 可知,样品溶液中异麦芽酮糖没有与杂峰彻底分离。

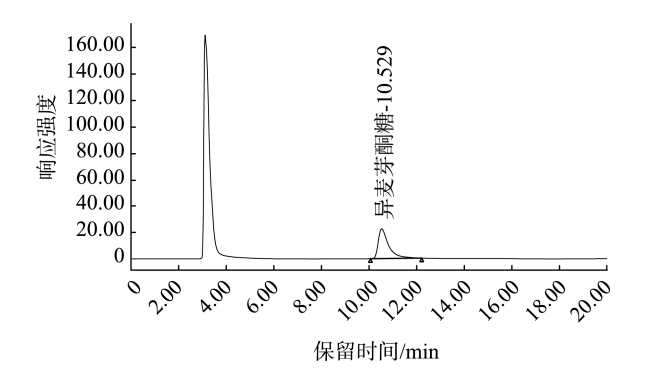


图 1 采用 Carbohydrate (4.6 mm×250 mm, 5 μm)色谱柱的 标准品色谱图

Fig.1 Chromatograms of standard by using Carbohydrate (4.6 mm $\times$ 250 mm, 5  $\mu$ m)

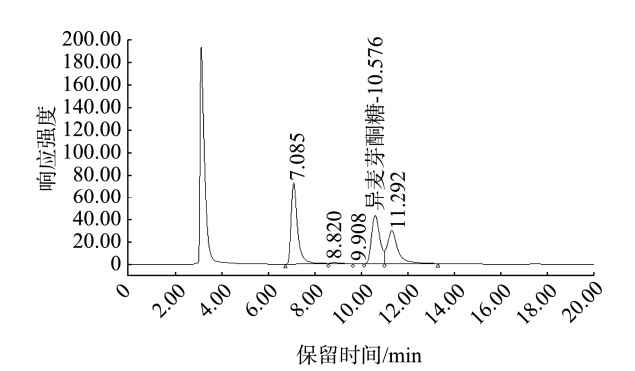


图 2 采用 Carbohydrate (4.6 mm×250 mm, 5 μm)色谱柱的 样品 A 色谱图

Fig.2 Chromatograms of sample A by using Carbohydrate (4.6 mm×250 mm, 5 μm)

采用 Zorbax 的氨基色谱柱对标准品和样品 A 进行分析的色谱图如图 3、4 所示。由图 3 可知,标准品溶液出现了较强的拖尾效应,由图 4 可知,样品溶液中色谱峰同样发生了拖尾效应,同时目标峰与杂峰未能完全分离,保留时间较长。

采用 HILIC 色谱柱对标物和样品 A 进行分析的色谱 图如图 5、6 所示,标准品及样品峰型较好,样品峰与杂峰 已彻底分离,同时保留时间较短,能较大缩短检测时间。 综合各色谱柱对目标峰的分离效果、保留时间和目标峰的 峰型的影响,本方法最终采用 XBridge HILIC 色谱柱作为 分析柱。

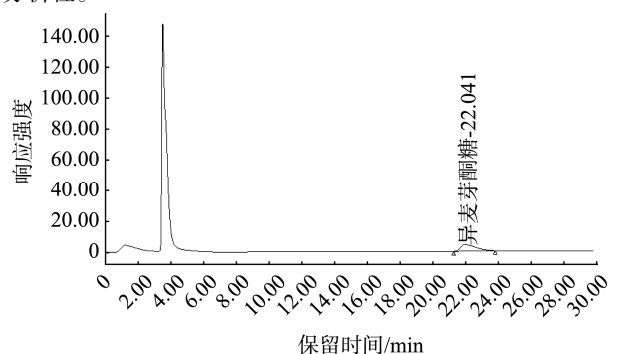


图 3 采用 Zorbax NH<sub>2</sub> (4.6 mm×250 mm, 5 μm)色谱柱的 标准品色谱图

Fig.3 Chromatograms of standard by using Zorbax  $NH_2$ (4.6 mm×250 mm, 5  $\mu$ m)

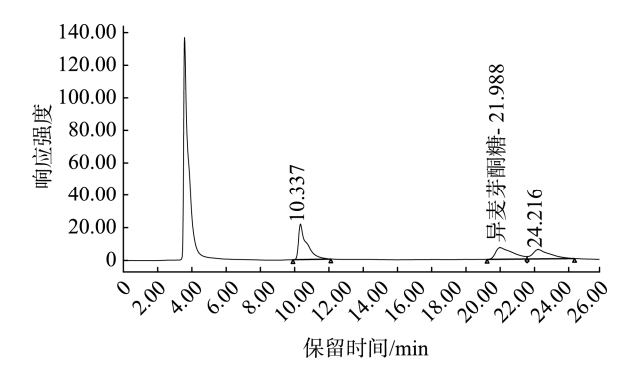


图 4 采用 Zorbax NH<sub>2</sub> (4.6 mm×250 mm, 5 μm)色谱柱的 样品 A 色譜图

Fig. 4 Chromatograms of sample A by using Zorbax  $NH_2$  (4.6 mm×250 mm, 5  $\mu$ m)

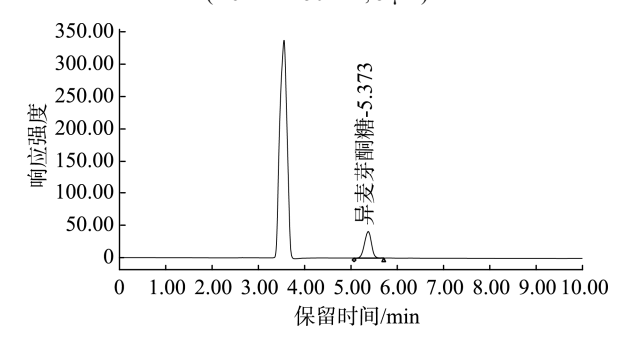


图 5 采用 Xbridge HILIC (4.6 mm×250 mm, 5 μm)色谱柱的 标准品色谱图

Fig.5 Chromatograms of standard by using Xbridge HILIC (4.6 mm $\times$ 250 mm, 5  $\mu$ m)

## 2.2 方法学考察

### 2.2.1 线性关系

选取 2、4、6、8、10 mg/mL 的异麦芽酮糖标准工作 溶液,按照优化好的最佳色谱条件进行测定,以峰面积(Y) 为纵坐标,以标准稀释液质量浓度(X, mg/mL)为横坐标,绘制标准曲线,进行线性回归分析,线性回归方程为Y=45981X-1022.7,相关系数( $r^2$ )=0.9999,在 1.96~9.80 mg/mL范围内线性关系良好。

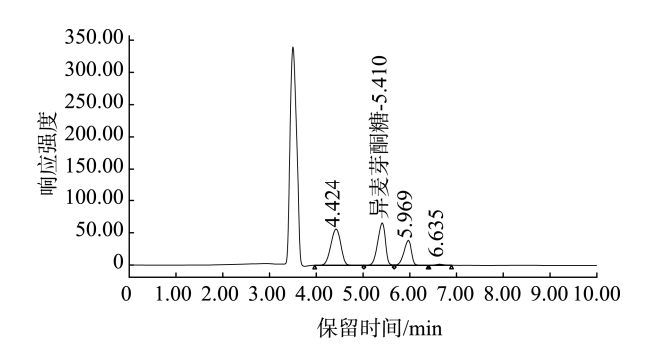


图 6 采用 Xbridge HILIC (4.6 mm×250 mm, 5 μm)色谱柱的 样品 A 色谱图

Fig.6 Chromatograms of sample A by using Xbridge HILIC (4.6 mm×250 mm, 5 µm)

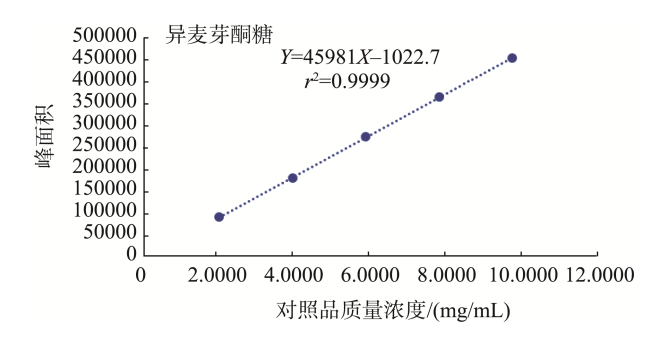


图 7 异麦芽酮糖标准物质曲线图 Fig.7 Isomaltulose standard substance curve graph

#### 2.2.2 专属性

检查样品基质对结果是否存在干扰,使用异麦芽酮糖标准品、样品 A 和样品 B 分别配制溶液进行上机测试。结果如图 8~10 所示。由图 8 可知,标准物质目标峰出峰时间大约在 5.5 min 左右。由图 9 可知,样品 A 在 5.5 min 左右的峰型良好,没有出现肩峰等现象。由图 10 可知,阴性样品 B 在异麦芽酮糖出峰位置没有出现明显定量峰,不影响异麦芽酮糖的定量(异麦芽酮糖的保留时间约为 5.5 min)。

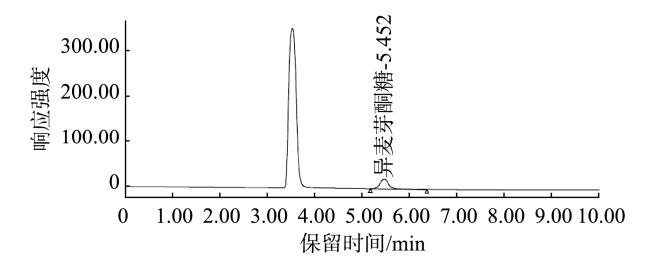


图 8 异麦芽酮糖标准物质色谱图 Fig.8 Chromatogram of isomaltulose reference material

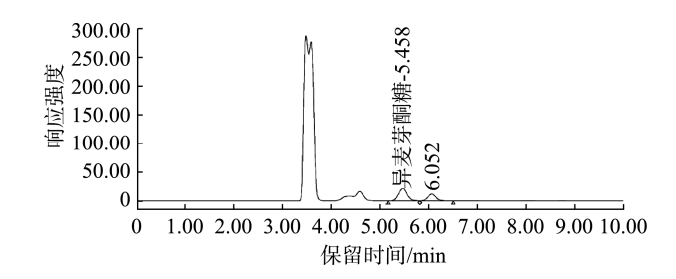


图 9 样品 A 色谱图 Fig.9 Chromatograms of sample A

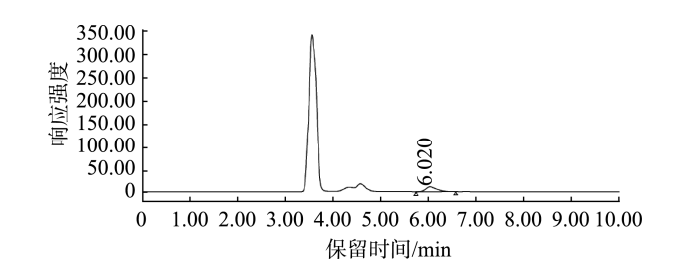


图 10 阴性样品 B 色谱图 Fig.10 Chromatograms of negative sample B

## 2.2.3 溶液稳定性

对照品工作溶液和样品溶液分别在放置一定时间后测定,考察目标组分峰面积的变化,结果如表 1 所示。由表 1 可见,对照品和样品 A 在 12 h 内峰面积变化较小,峰面积的相对偏差在 2%以内,说明本方法中样品 A 的上机溶液在 12 h 内稳定。因此,本方法的最终上机溶液性质稳定,在 12 h 没有发生任何性状的改变,能够满足一般检测的需求。

表 1 稳定性结果 Table 1 Results of stability

放置 时间/h	对照品		样品 A	
	峰面积	峰面积的相对 标准偏差/%	峰面积	峰面积的相对 标准偏差/%
0	268, 429	NA	266, 109	NA
4	269, 056	0.23	264, 593	0.57
8	268, 267	0.06	264, 926	0.44
12	265, 452	1.11	260, 908	1.95

注: NA 代表不适用。

#### 2.2.4 检出限及定量限

制备低浓度样品 A 溶液,进样得到色谱峰,计算出待测组分的信噪比(S/N)。在信噪比为 3 时,得到检出限 0.01 g/100 g;在信噪比为 10 时,得到定量限 0.04 g/100 g (称样量为 1 g,定容体积为 25 mL)。本方法的检出限及定量限能够满足正常检测的需求。

## 2.2.5 精密度

两个分析员分别连续测定按规定浓度配制的 6 个样

品 A, 计算 12 个测定结果的相对标准偏差,结果如表 2 所示。12 个测定结果的相对标准偏差为 0.65%,满足 GB/T 27417—2017《合格评定 化学分析方法确认和验证指南》中 2%的要求,说明本方法的精密度能够满足样品检测的需求。

#### 2.2.6 准确度

称取样品 A 约 1.0 g, 分别加入 0.4、0.7、1.0 mL 质量浓度为 96.8174 mg/mL 的加标溶液, 定容于 25 mL 容量瓶中, 每个加标水平进行 3 次平行检测, 计算加标回收率(本底值为精密度测试中 12 个测定结果的平均值)。加标回收率实验结果如表 3 所示,可以看到 9 个加标样的回收率均在 90.61%~98.91%之间,本方法准确率能够达到一般检测的需求。

表 2 精密度结果 Table 2 Results of precision

	异麦芽酮糖/(g/100 g)			
7, 2	分析员 1	分析员 2		
1	13.903	13.665		
2	13.720	13.635		
3	13.830	13.757		
4	13.723	13.564		
5	13.799	13.719		
6	13.717	13.768		
组内平均值	13.782	13.685		
组间平均值	1	13.733		
相对标准偏差/%		0.65		

表 3 样品 A 加标回收率实验结果 Table 3 Experiment results of sample spiked recovery

加标比率	加入量	检出量	回收率	回收率
/%	/mg	/mg	/%	平均值/%
		37.2738	96.25	_
70	38.7270	38.3037	98.91	95.46
		35.3358	91.24	
		62.6485	92.44	
100	67.7722	62.2892	91.91	91.78
		61.6567	90.98	
		95.0516	98.18	
130	96.8174	87.7290	90.61	93.72
		89.4169	92.36	

## 3 结 论

本研究建立了 HPLC-RID 对食品中异麦芽酮糖的检测方法。HILIC 色谱柱具有实质性的优点,可以提高极性物质(如糖和糖醇)的保留时间,以解决极性化合物的分离难题,并有效地缩短检测时间。而本研究考察了 C<sub>18</sub>、氨基、HILIC 3 种不同填料的色谱柱对异麦芽酮糖检测的影响,综合 3 种色谱柱的色谱峰型、色谱峰分离度、保留时间等因素,最终

选定了 HILIC 柱为本方法的色谱柱。本方法使用 50%乙腈 作为提取液,能够保证完全提取样品中的异麦芽酮糖,同时 也对蛋白质、脂肪等杂质有很好的沉淀除杂作用。

通过对实验方法各项指标进行检测可知,本方法的检出范围为 1.96~9.80 mg/mL、回收率均大于 90% (n=9)和相对标准偏差为 0.65%,均能满足实际检测的需求。该方法实验前处理简单、分析成本较低、分析效率高效,有效地解决了传统的 HPLC 方法受糖或糖醇干扰而导致的色谱峰分离度低、保留时间过长、前处理过于复杂等缺点,具有较好的推广价值。同时由于目前行业内蛋白粉中异麦芽酮糖没有相对应的国家标准、行业标准等标准检测方法,因此本方法也为行业内对蛋白粉中异麦芽酮糖的检测提供参考。

## 参考文献

- [1] 詹永,杨勇. 功能性甜味剂在食品中的应用[J]. 中国食品添加剂,2006, 30(3): 147-152.
  - ZHAN Y, YANG Y. Application of functional sweetener in food [J]. China Food Addit. 2006, 30(3): 147–152.
- [2] 周泽玉, 康淞皓, 车会莲, 等. 异麦芽酮糖研究进展及其在食品加工中的应用[J]. 现代食品科技, 2024, 40(7): 1-15.
  - ZHOU ZY, KANG SH, CHE HL, *et al*. Research progress of isomaltulose and its application in food processing [J]. Mod Food Sci Technol, 2024, 40(7): 1–15.
- [3] 吴成见. 功能性甜味剂在食品中的应用分析[J]. 营养与健康, 2017, 18:
  - WU CJ. Application analysis of functional sweeteners in food [J]. Nutr Health. 2017. 18: 71.
- [4] 高学秀, 李宁, 袁卫涛, 等. 异麦芽酮糖研究进展[J]. 中国食品添加剂, 2022. 1: 26-31.
  - GAO XX, LI N, YUAN WT, et al. Review of isomaltulose [J]. China Food Addit. 2022. 1: 26–31.
- [5] 陈宁,张佳钰,郑明强,等. 蔗糖异构酶在异麦芽酮糖生产中的研究进 展口,食品与生物技术学根,2023,42(1):55-65.
  - CHEN N, ZHANG JY, ZHENG MQ, *et al.* Research progress of sucrose isomerase in isomaltulose production [J]. J Food Sci Biotech, 2023, 42(1): 55–65.
- [6] 吴锦源, 梁梓健, 李生花, 等. 5 种功能性甜味剂对莲蓉馅料品质的影响[J]. 食品科学, 2023, 44(8): 62-70.
  - WU JY, LIANG ZJ, LI SH, *et al.* Effect of five functional sweeteners on the quality of lotus paste filling [J]. Food Sci, 2023, 44(8): 62–70.
- [7] 陈红香,高裕锋,余构彬,等. HPLC-ELSD 法测定食品中异麦芽酮糖[J]. 甘蔗糖业,2016(1): 48-51.
  - CHEN HX, GAO YF, YU GB, et al. Determination of isomaltulose in food by HPLC-ELSD [J]. Sugar Cane, 2016(1): 48–51.
- [8] 陈琳、张大超、童星、等. 老年人肠道功能性固体饮料的工艺研究[J]. 食品工业, 2017, 38(12): 97-100.
  - CHEN L, ZHANG DCH, TONG X, *et al.* Study on the technology of elderly intestinal functional solid beverage [J]. Food Ind, 2017, 38(12): 97–100
- [9] 李明阳,黄强,林波. 异麦芽酮糖醇的健康效益及其在功能性食品中的应用[J]. 食品安全导刊, 2024, 10: 106-108.
  - LI MY, HUANG Q, LIN B. Health benefits of isomaltol and its application in functional [J]. Chin Food Saf Magaz, 2024, 10: 106–108.

- [10] ANKE S, GOH PE, 邢青斌. 异麦芽酮糖的低血糖指数特性及健康功能[J]. 中国食物与营养, 2023, 29(7): 31-35.
  - ANKE S, GOH PE, XING QB. Low glycacemicindex property and health function of isomaltulose [J]. Food Nutr China, 2023, 29(7): 31–35.
- [11] 周子涵. 异麦芽酮糖缓解小鼠结肠炎的作用及相关机制研究[D]. 青岛: 青岛大学, 2023.
  - ZHOU ZH. Study on the effect and related mechanism of isomaltulose in relieving colitis in mice [D]. Qingdao: Qingdao University, 2023.
- [12] 何秋玲、张彩平、桂静、等. 异麦芽酮糖減少小鼠肝脏脂肪堆积的关键 基因筛选与验证[J]. 食品工业科技、2022、43(16): 1-8.
  - HE QL, ZHANG CP, GUI J, *et al.* Screening and verification of key genes for isomaltulose reducing liver fat accumulation in mice [J]. Sci Tech Food Ind. 2022, 43(16): 1–8.
- [13] 刘海朋,孙鲁,邱学良,等. 异麦芽酮糖溶液稳定性影响因素研究[J]. 中国食品添加剂, 2020, 10: 26–30.
  - LIU HP, SUN L, QIU XL, et al. Study on factors influencing the stability of isomaltulose solution [J]. China Food Addit, 2020, 10: 26–30.
- [14] 李敏,尚继旭,贾振华,等.蔗糖异构酶的制备及修饰研究进展[J/OL]. 食品与发酵工业,1-10. [2024-12-03]. https://doi.org/10.13995/j.cnki. 11-1802/rs 038887
  - LI M, SHANG JX, JIA ZH, *et al.* Research progress in the preparation and modification of sucrose isomerase [J/OL]. Food Ferment Ind, 1-10. [2024-12-03]. https://doi.org/10.13995/j.cnki.11-1802/ts.038887
- [15] 常保根. 蔗糖异构酶交联聚集体的制备及催化性能研究[D]. 天津: 天 津科技大学, 2022.
  - CHANG BG. Preparation and catalytic performance of sucrose isomerase crosslinked aggregates [D]. Tianjin: University of Science and Technology of Tianjin. 2022.
- [16] 刘娜,彭丹丹,刘亚楠,等. 异麦芽酮糖及其生产方式的研究进展[J]. 河南工业大学学报、2021、42(5): 123-130.
  - LIU N, PENG DD, LIU YN, *et al.* Research progress on isomaltulose and its production methods [J]. J Henan Univ Technol, 2021, 42(5): 123–130.
- [17] 赵文冲, 吴敬, 张康, 等. 枯草芽胞杆菌重组表达的 Pantoea dispersa UQ68J 蔗糖异构酶制备异麦芽酮糖的研究[J]. 食品与发酵工业, 2023, 49(23): 9-15.
  - ZHAO WC, WU J, ZHANG K, et al. Preparation of isomaltulose by Pantoea dispersa UQ68J sucrose isomerase recombinantly expressed in Bacillus subtilis [J]. Food Ferment Ind, 2023, 49(23): 9–15.
- [18] 吴彦楠,蓝细菌光驱固碳合成异麦芽酮糖技术研究[D].长沙:中南林 业科技大学,2023.
  - WU YN. Research on the carbon fixation synthesis of isomaltulose by blue bacteria optical drive [D]. Changsha: Central South University of Forestry and Technology, 2023.
- [19] 张苗苗. 三种功能性糖对面包品质的影响及抗老化研究[D]. 武汉: 武汉轻工大学, 2022.
  - ZHANG MM. Effects of three functional sugars on bread quality and anti-aging [D]. Wuhan: Wuhan Polytechnic University, 2022.
- [20] 耿梦华, 陈晟, 吴敬, 等. 吸附交联法固定化蔗糖异构酶及其在异麦芽酮糖制备中的应用[J]. 食品与生物技术学报, 2019, 38(4): 104–110. GENG MH, CHEN S, WU J, et al. Immobilization of sucrose isomerase by adsorption and crosslinking method for the synthesis of isomaltulose [J]. J Food Sci Biol, 2019, 38(4): 104–110.
- [21] 甘宾宾, 蒋世琼. 高效液相色谱法测定帕拉金糖[J]. 广西化工, 2001, 30(3): 40-41.
  - GAN BB, JIANG SQ. Determination of palatinose by HPLC [J]. Guangxi Chem Ind, 2001, 30(3): 40–41.

- [22] 詹胜群, 钟娉婷, 葛城, 等. 基于酰胺基柱的 HPLC-RID 同时测定异麦 芽酮糖中 5 种糖的含量及其影响因素[J]. 中国食品添加剂, 2024(2): 252-262.
  - ZHAN SQ, ZHONG PT, GE C, et al. Simultaneous determination of five sugar contents in isomaltulose by HPLC-RID based on amide column and their influencing factors [J]. China Food Addit, 2024(2): 252–262.
- [23] 李燕妹, 黄燕, 唐雯, 等. 高效阴离子交换色谱-脉冲安培法检测乳制品中 7 种稀有糖[J]. 食品科技, 2024, 49(8): 301–307. LI YM, HUANG Y, TANG W, et al. Determination of seven rare sugars in dairy products by high performance anion exchange chromatography with pulsed amperometry [J]. Food Sci Technol, 2024, 49(8): 301–307.
- [24] 黄忠华, 梁智. 海藻酮糖测定方法的探讨[J]. 广西糖业, 2016, 1: 35-41.
  - HUANG ZH, LIANG Z. Discussion on the determination method of seaweed ketose [J]. Guangxi Sugar Ind, 2016, 1: 35-41.
- [25] 朱艳, 李先芝, 熊晓通, 等. 液相色谱法检测原酒中 7 类天然甜味剂 方法的研究[J]. 酿酒科技, 2024, 9: 124-134.
  - ZHU Y, LI XZ, XIONG XT, *et al.* Detection of seven natural sweeteners in crude liquor by liquid chromatography [J]. Liquor-mak Sci Tecnol, 2024, 9: 124–134.
- [26] 闫晴, 聂磊, 俞所银. 示差折光高效液相色谱法测定无糖食品中的异麦芽酮糖醇[J]. 分析仪器, 2021, 6: 39-43.
  - YAN Q, NIE L, YU SY. Determination of isomalt in sugar-free foods by HPLC with refractive index detection [J]. Anal Instrum, 2021, 6: 39–43.
- [27] 吴锦源,梁梓健,李生花,等. 5 种功能性甜味剂对莲蓉馅料品质的影响[J]. 食品科学,2023,44(8):62-70.
  - WU JY, LIANG ZJ, LI SH, *et al*. Effect of five functional sweeteners on the quality of lotus paste filling [J]. Food Sci, 2023, 44(8): 62–70.
- [28] 梁荣荣,李丕武,辛跃强. 从异麦芽酮糖母液中分离异麦芽酮糖和海藻酮方法的研究[J]. 食品工业,2016,37(4):74-78.
  - LIANG RR, LI PW, XIN YQ. A method for separation isomaltulose and trehalulose from isomaltulose mother liquor [J]. Food Ind, 2016, 37(4): 74–78
- [29] 赵文冲, 吴敬, 张康, 等. 枯草芽胞杆菌重组表达的 Pantoea dispersa UQ68J 蔗糖异构酶制备异麦芽酮糖的研究[J]. 食品与发酵工业, 2023, 49(23): 9-15.
  - ZHAO WC, WU J, ZHANG K, et al. Preparation of isomaltulose by Pantoea dispersa UQ68J sucrose isomerase recombinantly expressed in Bacillus subtilis [J]. Food Ferment Ind, 2023, 49(23): 9–15.
- [30] 何秋玲、张彩平、桂静、等. 异麦芽酮糖减少小鼠肝脏脂肪堆积的关键基因筛选与验证[J]. 食品工业科技, 2022, 43(16): 1-8.
  - HE QL, ZHANG CP, GUI J, et al. Screening and verification of key genes for isomaltulose reducing liver fat accumulation in mice [J]. Sci Technol Food Ind. 2022. 43(16): 1–8.

(责任编辑: 于梦娇 安香玉)

## 作者简介



刘春丽,硕士,中级工程师,主要研究 方向为食品和保健食品质量管理。 E-mail: 1040760028@qq.com